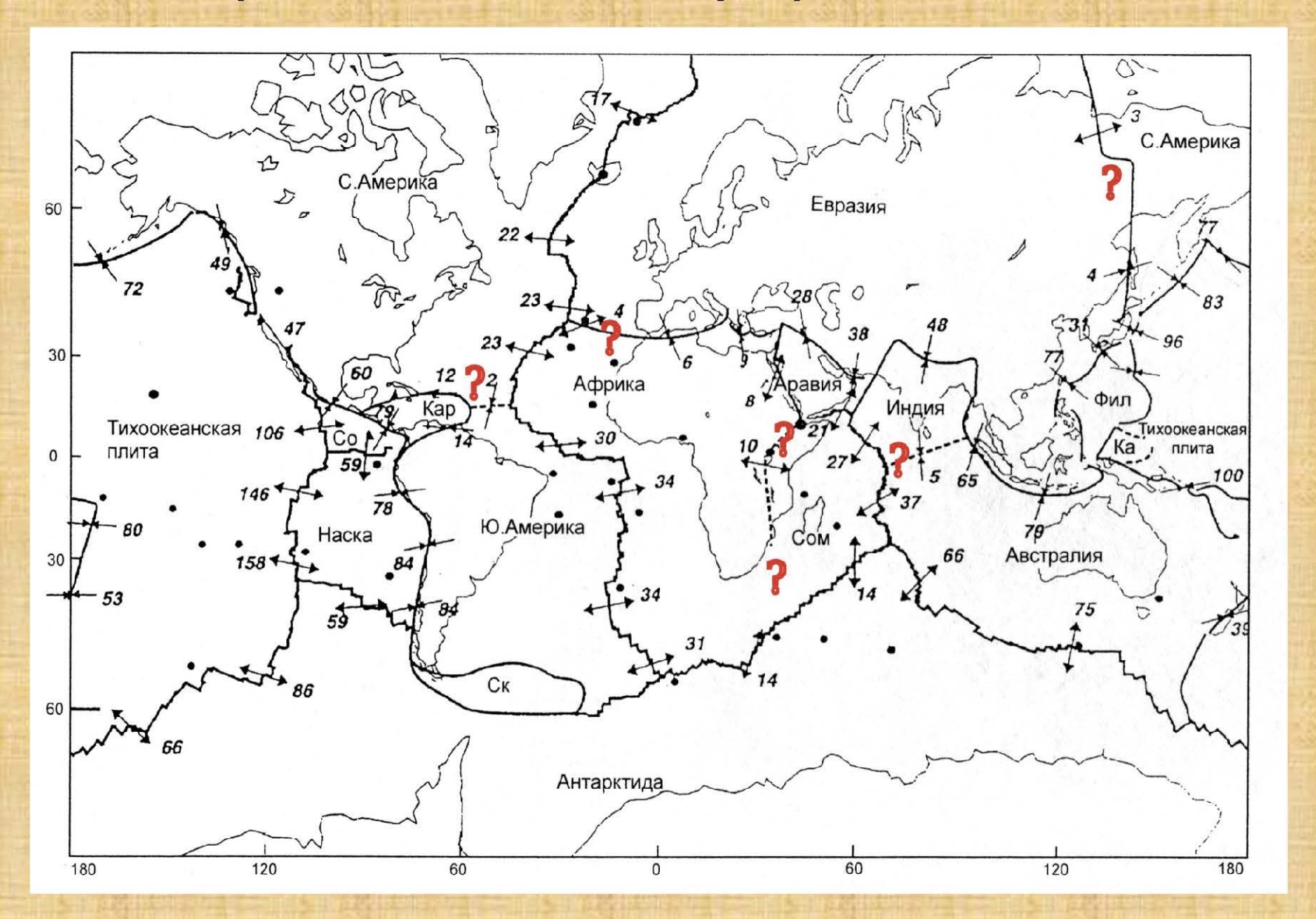
Баранов А.А., Лобковский Л.И., Чуваев А.В., Бобров А.М.

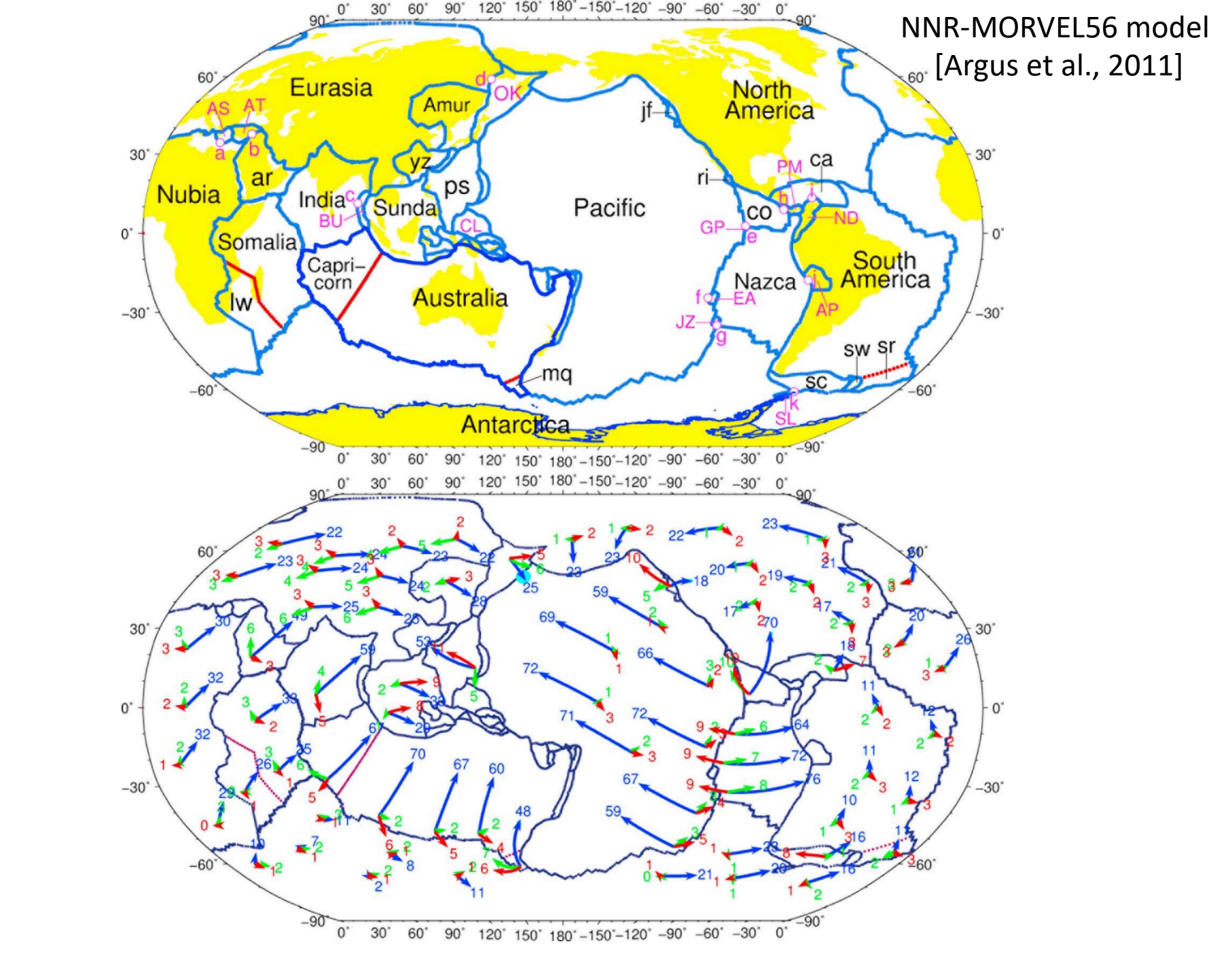
ЧИСЛЕННАЯ МОДЕЛЬ СОВРЕМЕННОЙ ЗЕМЛИ — МОДЕЛИРОВАНИЕ ПЛИТНОЙ ТЕКТОНИКИ ДЛЯ СЕВЕРНОЙ ЕВРАЗИИ

СОВРЕМЕННЫЕ МЕТОДЫ ОЦЕНКИ СЕЙСМИЧЕСКОЙ ОПАСНОСТИ И ПРОГНОЗА ЗЕМЛЕТРЯСЕНИЙ

22-23 октября 2025 года ИТПЗ РАН, Москва

Границы литосферных плит





Геология и геофизика, 2016, т. 57, № 3, с. 476—495 УДК 551.242.11.31

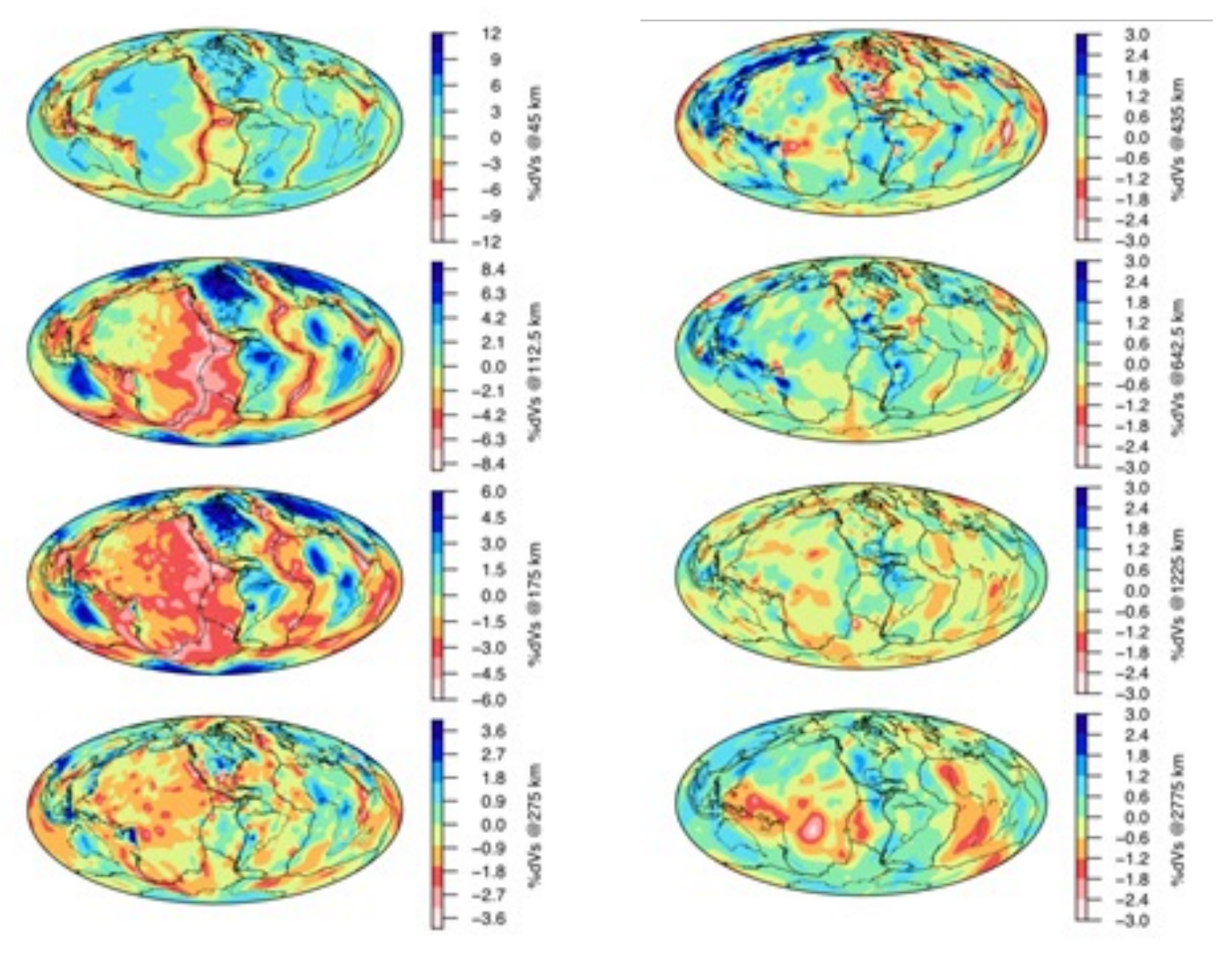
ТЕКТОНИКА ДЕФОРМИРУЕМЫХ ЛИТОСФЕРНЫХ ПЛИТ И МОДЕЛЬ РЕГИОНАЛЬНОЙ ГЕОДИНАМИКИ ПРИМЕНИТЕЛЬНО К АРКТИКЕ И СЕВЕРО-ВОСТОЧНОЙ АЗИИ Л.И. Лобковский

Институт океанологии им. П.П. Ширшова РАН, 117997, Москва, Нахимовский просп., 36, Россия

Обсуждаются трудности и противоречия классической концепции тектоники плит. Проанализированы ее исходные положения (постулаты). Показано, что постулат о твердотельном вращении плит на поверхности Земли (так называемая теорема Эйлера), на котором основаны кинематические построения тектоники плит, далеко не всегда применим, в частности, при анализе меловых реконструкций Северной Атлантики и Арктики. Также не выполняется исходное положение о полной механической обособленности литосферных плит, эквивалентное допущению о замкнутости всех их границ. Предлагается обобщение классической теории тектоники плит, в котором последние рассматриваются как деформируемые тела — тектоника деформируемых литосферных плит. Обосновывается новая региональная геодинамическая модель, описывающая меловую и кайнозойскую эволюцию литосферы Арктики и Северо-Восточной Азии. Модель основывается на представлении о существовании горизонтально протяженной конвективной ячейки в верхней мантии, сопряженной с конвейерным механизмом субдукции тихоокеанской литосферы. В рамках предложенной модели находят свое естественное физическое объяснение такие известные тектономагматические процессы, как отступание островных дуг в сторону океана с образованием задутовых бассейнов, возникновение континентальных рифтовых зон и магматических провинций на значительных (более 1000 км) расстояниях от зон субдукции и т.д.

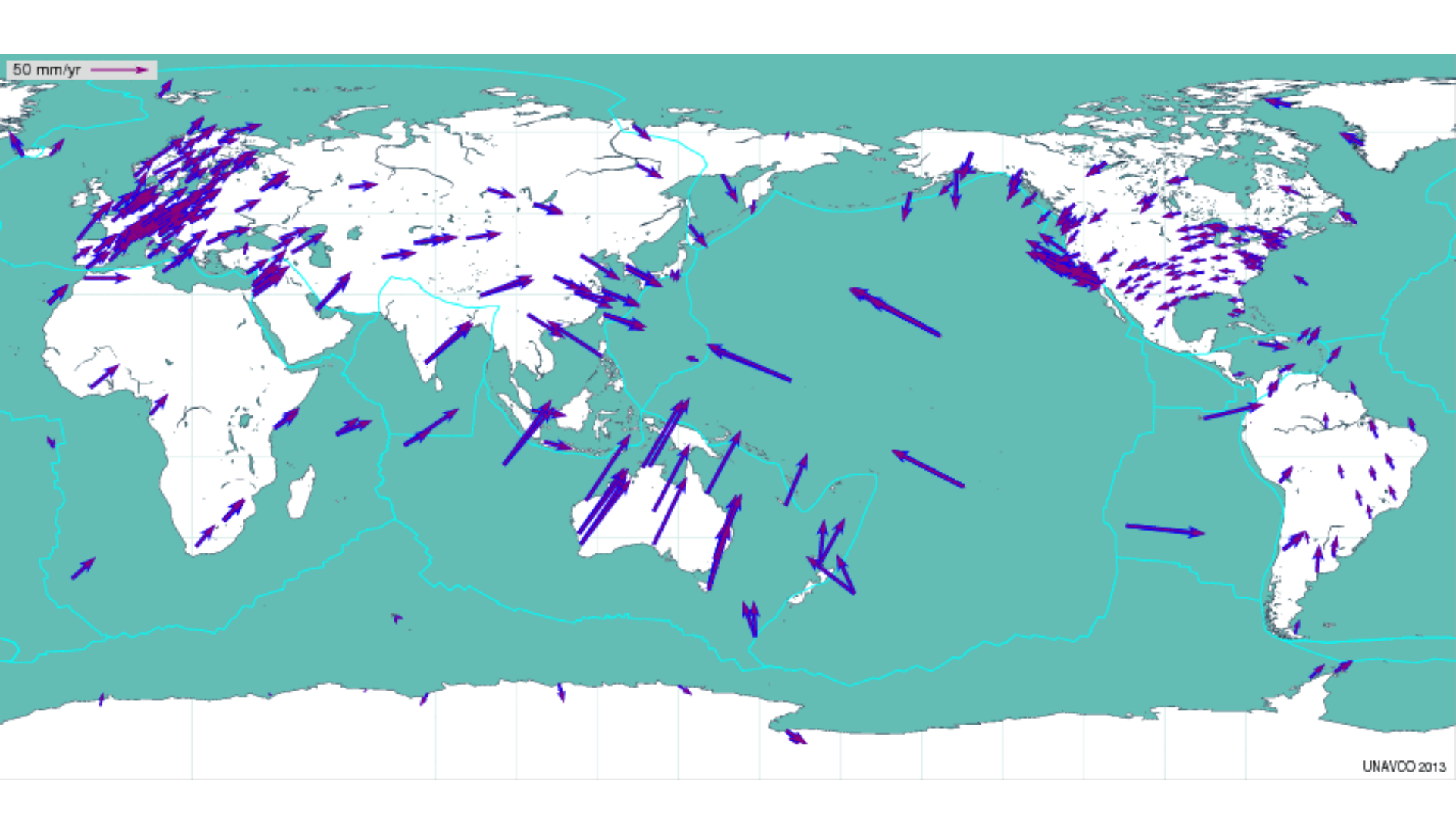
Постулаты тектоники плит, теорема Эйлера, деформируемые плиты, эволюция Арктики и Северо-Восточной Азии в мелу и кайнозое, верхнемантийная конвекция, сопряженная с субдукцией.

Сейсмическая томография Землимодель SMEAN 2 (первая группа больших данных)



SMEAN 2 представляет собой 58 слоев с шагом по глубине в 50 км до границы ядром [Jackson et al., 2017].

ITRF model Данные спутниковой геодезии (вторая группа больших данных)



Синими стрелками показаны скорости из модели ITRF [Altamimi et al., 2017].

Mantle convection

- energy equation governs planetary heat loss
- > introduces time-dependence and non-linearity (coupling between velocity and temperature)
- can time reverse advection, but not diffusion

conservation of momentum
$$\frac{\partial \sigma_{ij}}{\partial x_j} = -Ra\tilde{T}\delta_{ir} - Ra_C\tilde{C}\delta_{ir}$$
 constitutive law
$$\sigma_{ij} = -p\delta_{ij} + 2\eta(\sigma, T, d, H_2O, \varepsilon)\dot{\varepsilon}_{ij}$$
 conservation of mass
$$\frac{\partial v_i}{\partial x_i} = 0$$

conservation of energy
$$\frac{\partial T}{\partial t} = -v_i \frac{\partial T}{\partial x_i} + \kappa \frac{\partial^2 T}{\partial x_j \partial x_j} + H$$
advection diffusion generation

Мгновенная плотностная модель Земли

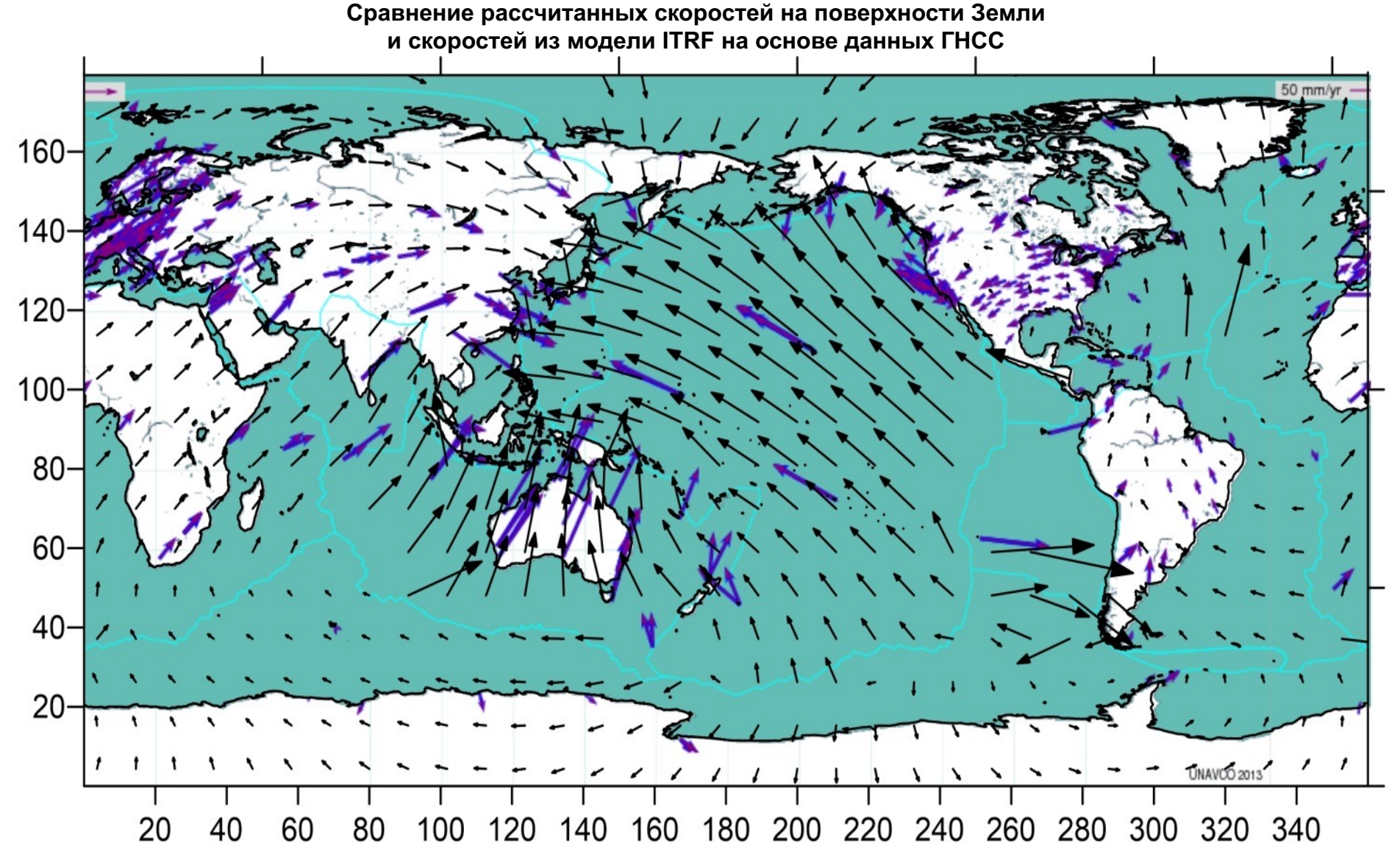
Моделирование глобальной мантийной конвекции в рамках гидродинамики сильно вязкой жидкости с переменной вязкостью проводится на основе уравнения Стокса с использованием данных сейсмической томографии, отражающих внутреннее строение Земли. Для расчета мантийной конвекции осуществляется перевод вариаций сейсмических скоростей в температурное поле в два этапа. Сначала вариации сейсмических скоростей в мантии Δv_s пересчитываются в вариации плотности вещества по соотношению: Δp = scaling× Δv_s . Скэйлинг-фактор зависит от глубины, химического состава среды и других факторов [Lee et al., 2011]. Для простоты обычно принимают скэйлинг-фактор, ступенчато зависящим от глубины, например, согласно [Megnin, Romanowicz, 2000] значения скэйлинга распределяются следующим образом: 0,05 - для литосферы 0-100 км; 0,1 - для верхней мантии 100-660 км; 0,2 - для нижней мантии 660-2500 км; 0,1 - для слоя D`` 2500-2900 км. Полученные вариации плотности переводятся в вариации температур в мантии по формуле теплового расширения ΔT = - (1/ α) × (Δp /p). При этом коэффициент теплового расширения α меняется с глубиной по зависимости α = (3-4.44×(1-r)) ×10-5, где r – безразмерный радиус Земли, от 3×10-5 на поверхности Земли до 1×10-5 на дне мантии. Далее к вариациям температуры необходимо добавить адиабатическую и среднюю нададиабатическую температуру и таким образом перейти к полной температуре в мантии Земли [Schubert et al., 2001].

Моделирование течений в мантии Земли осуществляется в приближении Буссинеска в трехмерной сферической геометрии.

Для верхней мантии до глубины 660 км размерная вязкость определяется эмпирической формулой: $\eta=2\times10^9\times\exp(17\times\mathrm{Tmelting/((Temp\times3327)+273))})$, где Temp — безразмерная полная температура от 0 до 1, а Tmelting температура плавления вещества определяется формулой Tmelting =2100 +1.4848×depth-(0.0005×depth×depth) [Paulson et al., 2005; McNamara et al., 2003].

Для нижней мантии глубже 660 км:

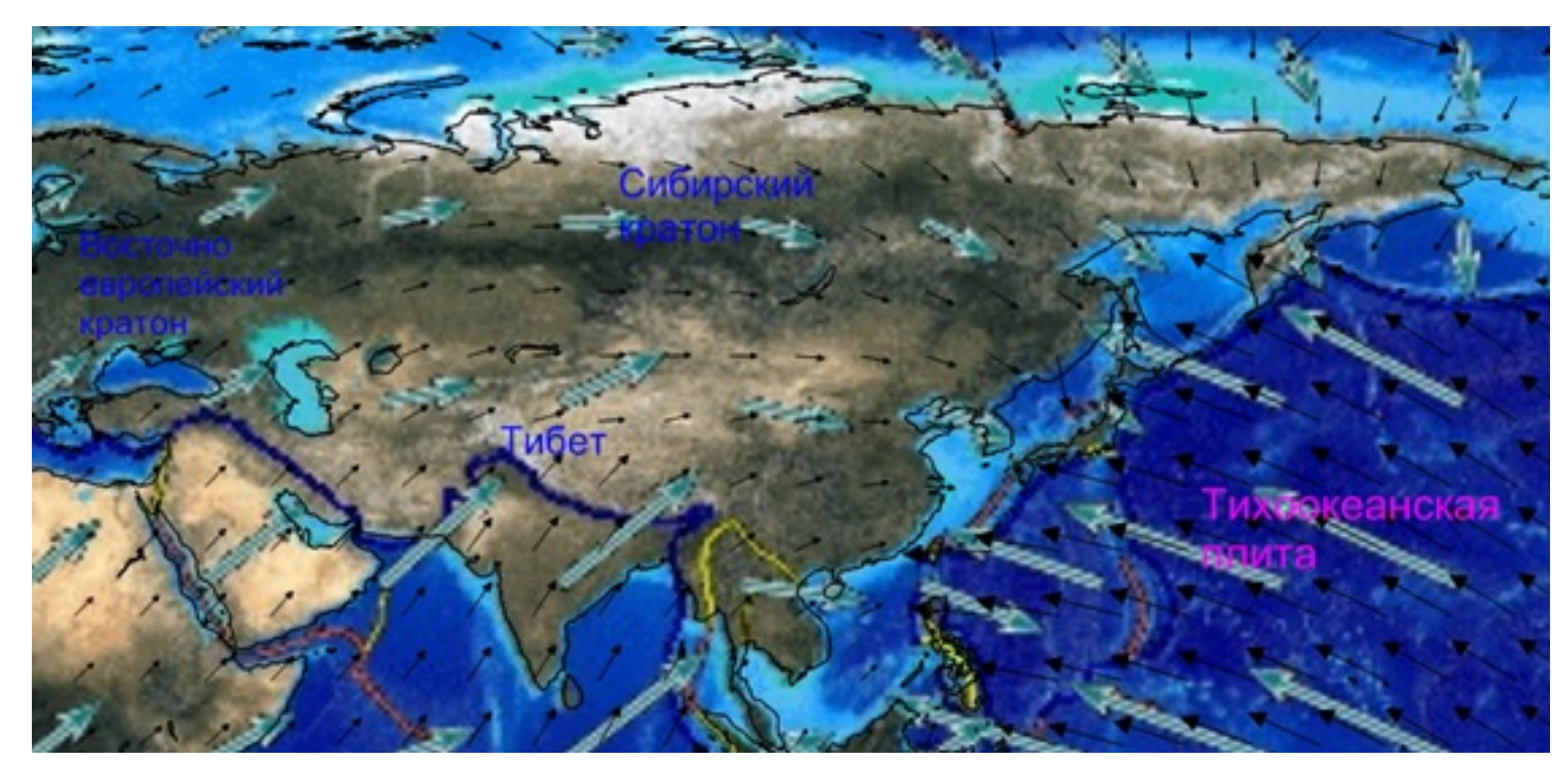
- $\eta = 1.2 \times 10^{13} \times (\exp(10 \times \text{Tmelting}/((\text{Temp} \times 3327) + 273))),$
- a Tmelting=2916 + 1.25×depth (0.000165×depth×depth) где depth глубина в километрах [Paulson et al., 2005; McNamara et al., 2003].
- Число Рэлея в нашей модели равно Ra = 1.2×10^8 . Скачок плотности на границе 410 км $dr_{410}/r_0 = 0.07$, наклон кривой фазового равновесия $\gamma_{410} = 1.6$ МПа/К, на границе 660 км $dr_{660}/r_0 = 0.09$, а $\gamma_{660} = -1.3$ МПа/К [Fei et al., 2004]. При этих значениях параметров число Рэлея составляет $Ra_{ph410} = dr_{410} \ gD^3/(\kappa rn_0) \approx 1.4 \times 10^8$, а $Ra_{ph660} = dr_{660} \ gD^3/(\kappa rn_0) \approx 1.8 \times 10^8$.



Векторное поле рассчитанных скоростей на поверхности Земли показано черными стрелками [Лобковский, Баранов, Бобров, 2025]. Синими стрелками показаны скорости из модели ITRF [Altamimi et al., 2017]. Черной линией показаны контуры континентов. Голубой линией показаны границы плит.

Плиты делятся на 2 типа: относительно жесткие — Тихоокеанская, Наска, Африканская, Австралийская, Индийская; с большими внутриплитными деформациями т.е. скорости меняют направление внутри плит — Евразийская, Антарктическая, Южно и Североамериканская?.

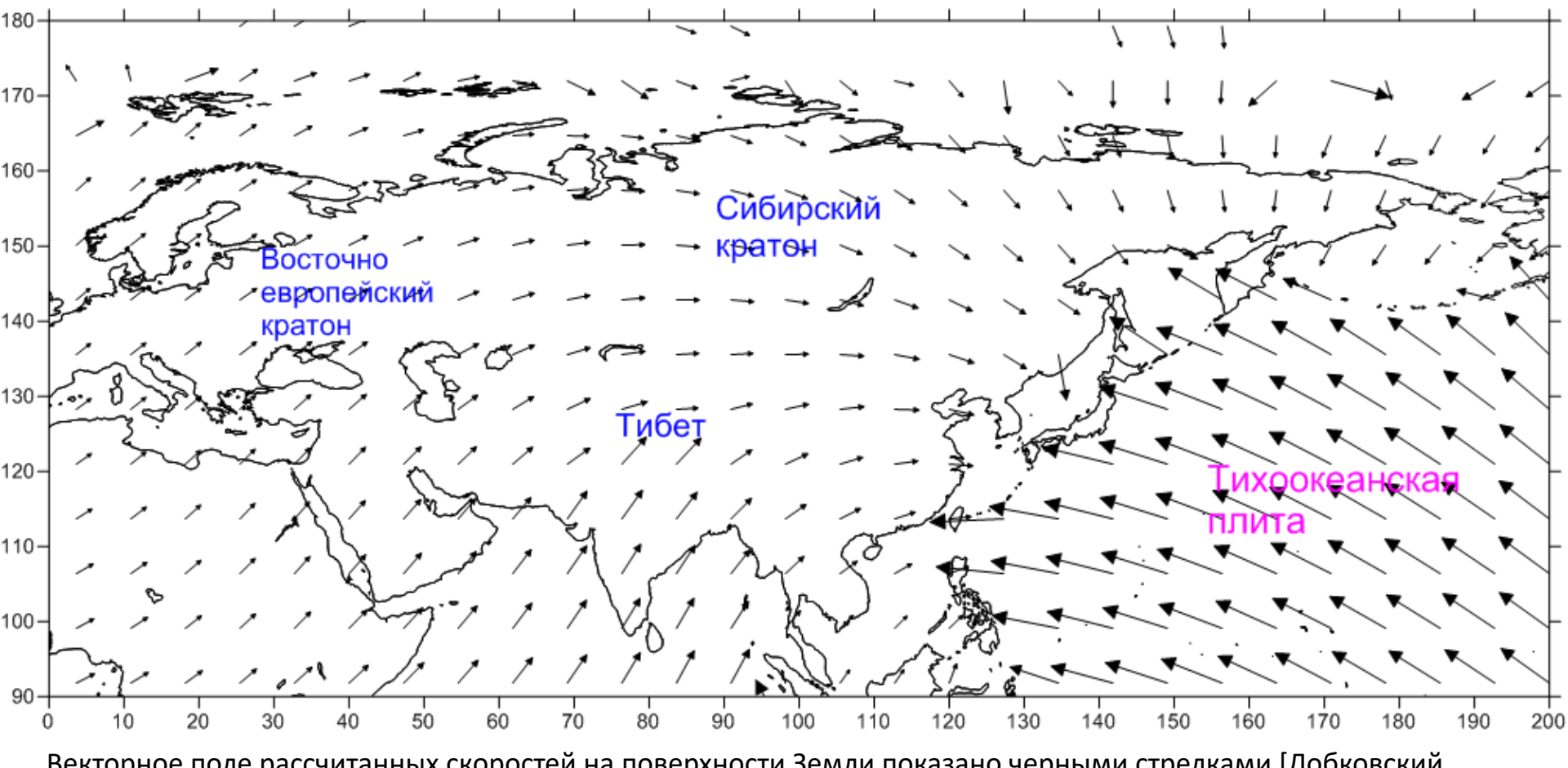
Сравнение рассчитанных скоростей на поверхности Земли и скоростей из кинематической модели NNR Nuvel для Северной Евразии и окружающих регионов



Векторное поле рассчитанных скоростей на поверхности Земли показано черными стрелками [Лобковский, Баранов, Бобров, 2025]. Голубыми стрелками показаны скорости из модели Nuvel [Argus and Gordon, 1991]. Черной линией показаны контуры континентов. Плиты делятся на 2 типа:

- 1. Относительно жесткие Тихоокеанская, Индийская, Африканская, Аравийская.
- 2. С большими внутриплитными деформациями т.е. скорости меняют направление внутри плит Евразийская.

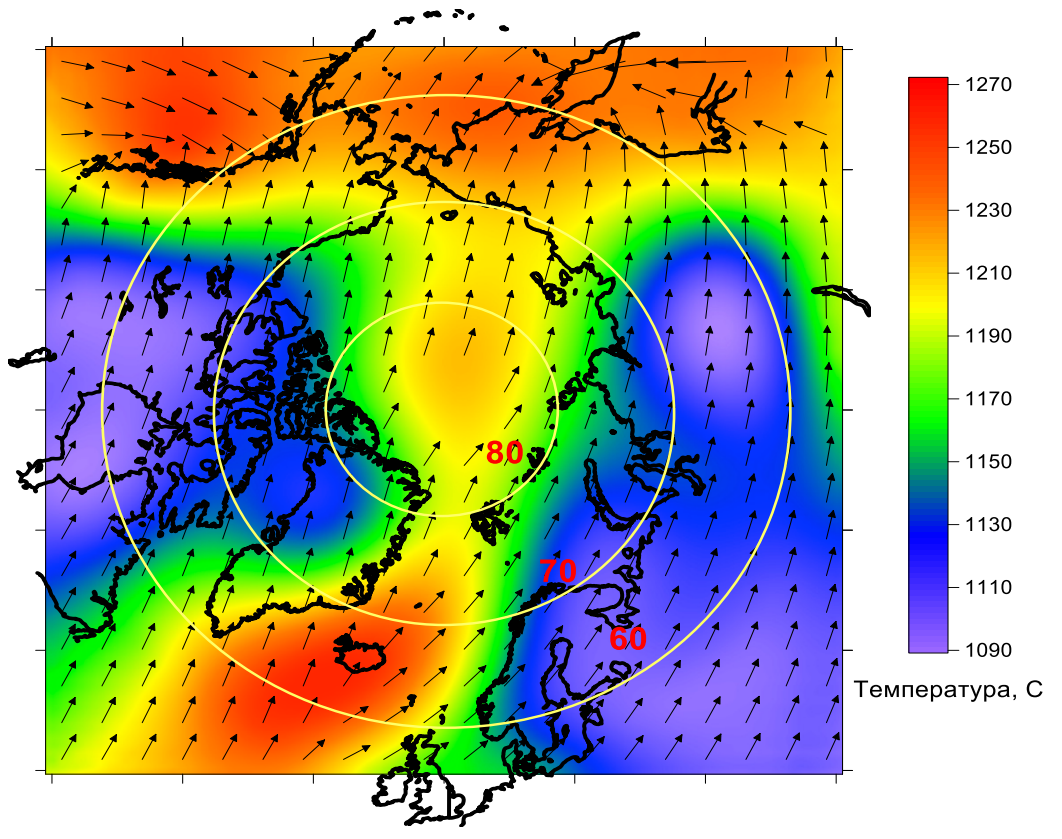
Рассчитанные скорости на поверхности Земли

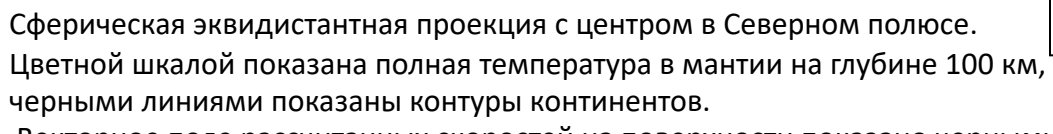


Векторное поле рассчитанных скоростей на поверхности Земли показано черными стрелками [Лобковский, Баранов, Бобров, 2025].

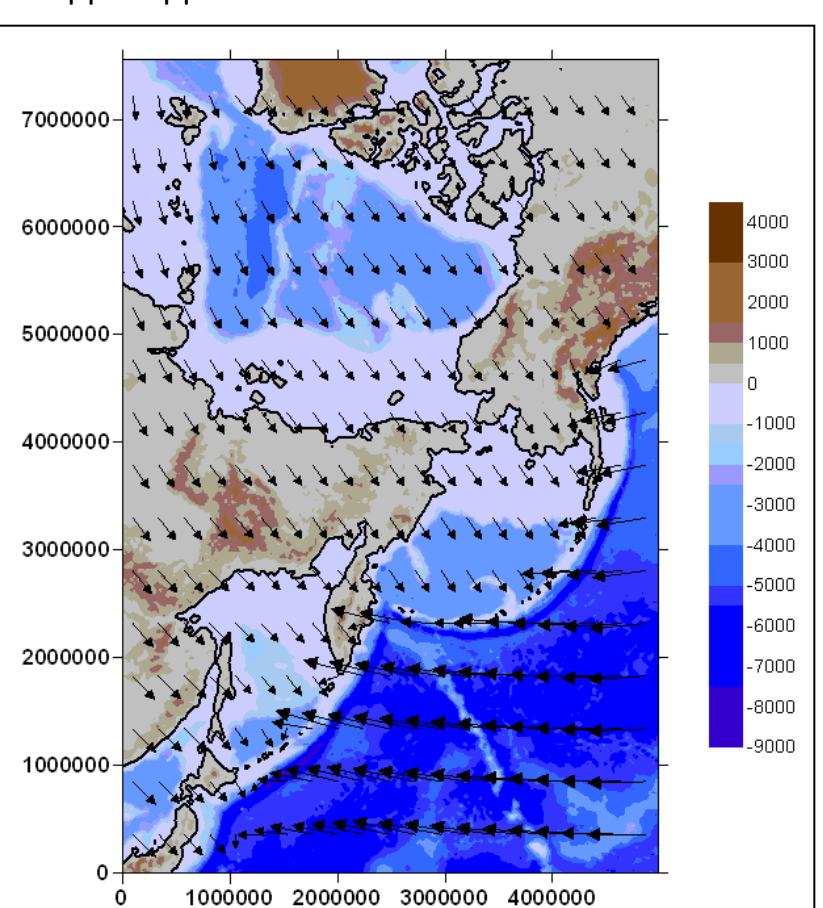
Арктика

Расчетные скорости движения Модель движения плит NNR NUVEL 1A

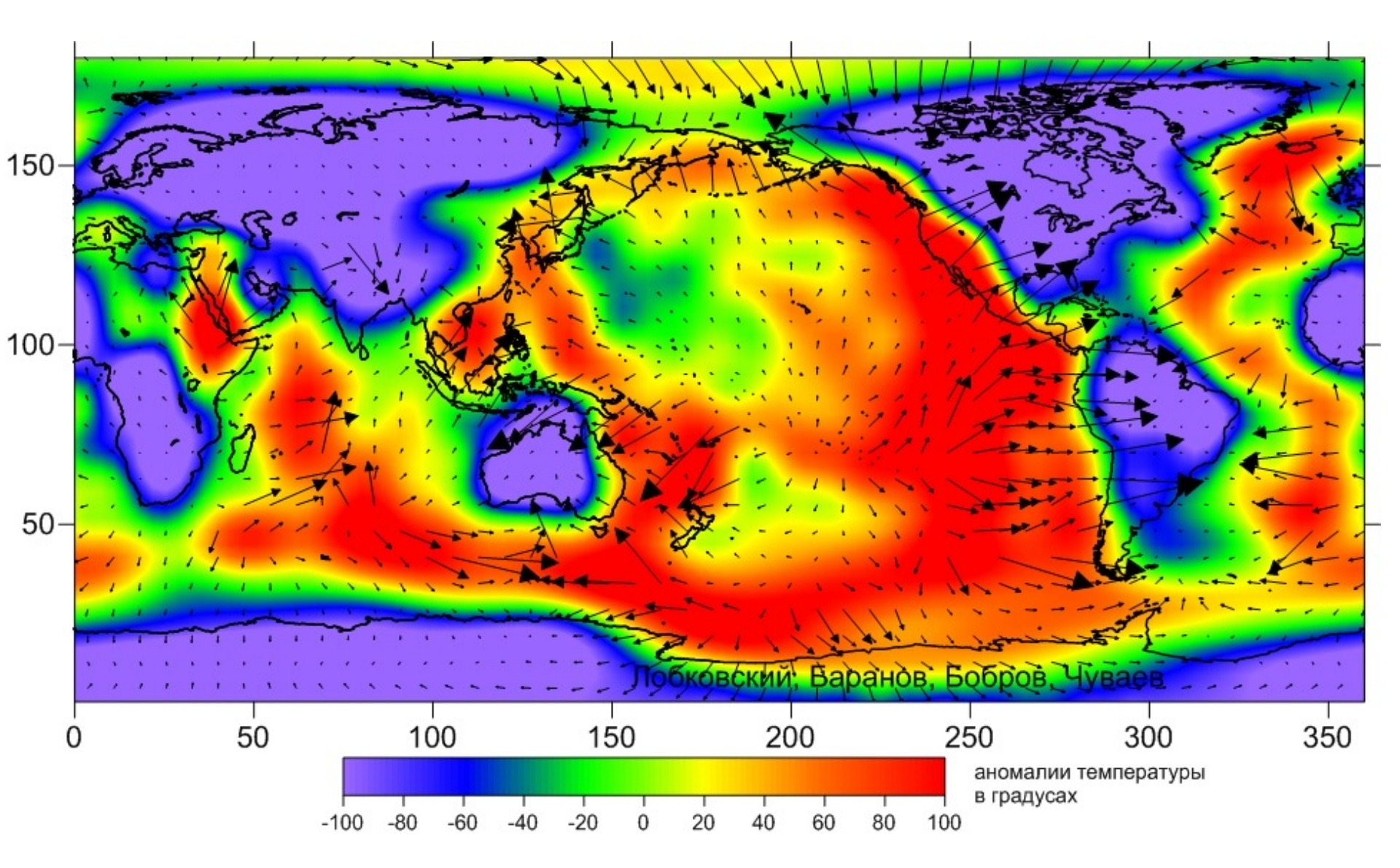




Векторное поле рассчитанных скоростей на поверхности показано черными стрелками.



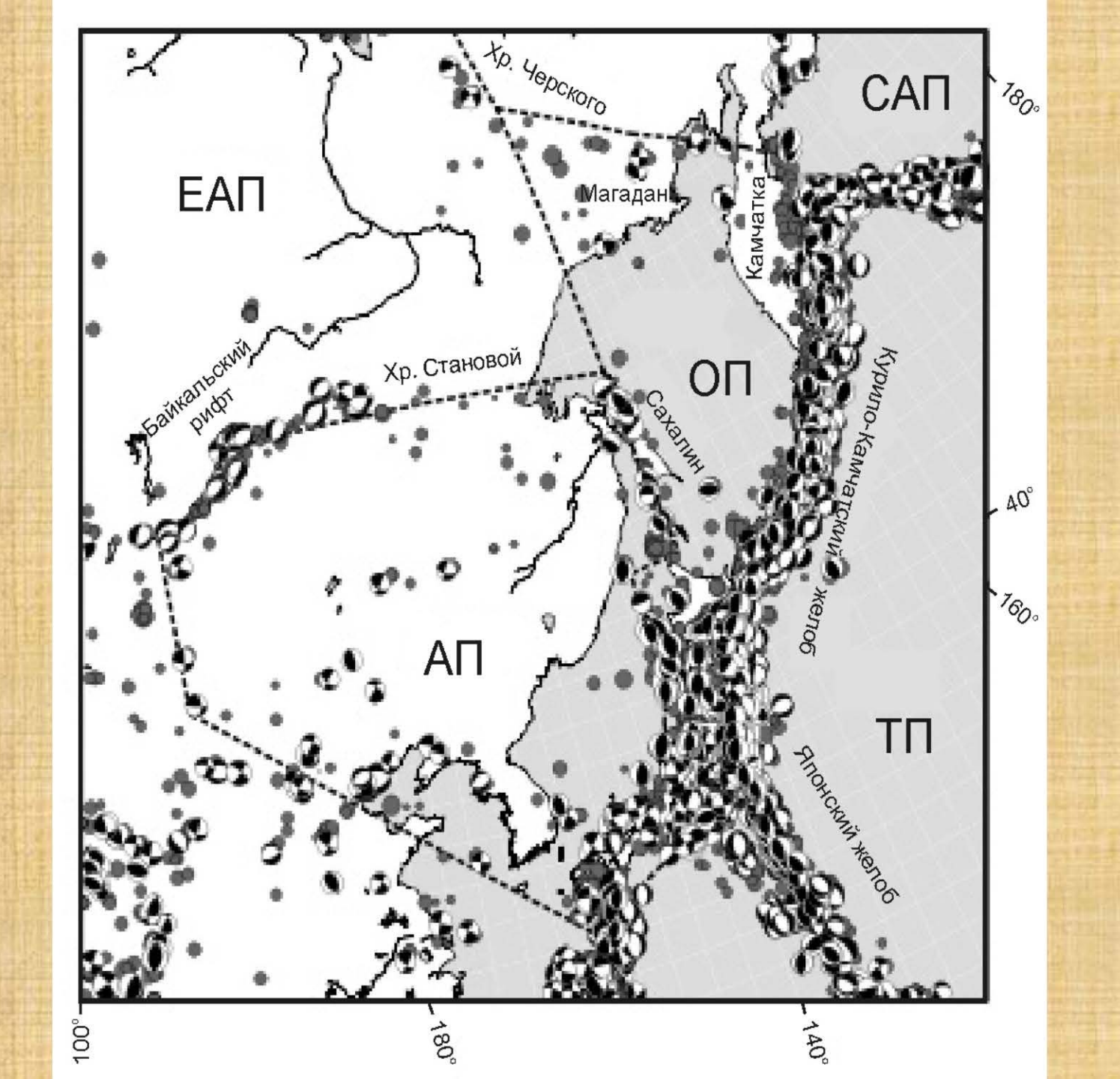
Распределение аномалий температуры и скоростей течений в мантии на глубине 150 км.



Плитная структура исчезла. Скорости течений для регионов с положительными аномалиями температуры на порядок больше чем на поверхности [Лобковский, Баранов, Бобров, 2025].

Выводы по плитной тектонике

- 1. Построена 3D модель термоплотностной конвекции в сферическом мантийном слое с неньютоновской реологией, включая зависимость вязкости от температуры и других параметров среды. Модель описывает современную трехмерную картину течений в мантии, отвечающую существующей трехмерной картине плотностных неоднородностей, полученных из данных сейсмической томографии. Течения в мантии на поверхности дают плитную тектонику.
- 2. Построенная 3D модель мантийных течений хорошо описывает горизонтальные движения поверхности Земли, которые наблюдаются по данным космической геодезии.
- 3. Концепция академика Л. И. Лобковского о тектонике деформируемых литосферных плит подкрепляется численным моделированием.
- 4. Часть плит (Тихоокеанская, Африканская, Австралийская, Индийская и др.) являются квазижесткими вдали от краев, для них применима теорема Эйлера о вращении на сфере.
- 5. Евразийская плита не является квазижесткой, испытывает большие деформации и не движется как единой целое.
- 6. Также Североамериканская плита не является квазижесткой. Поэтому палеореконструкции в Арктике на основе теоремы Эйлера неверны.
- 7. Четкая граница между Евразийской и Североамериканской плитой в Северо-восточной Азии отсутствует.
- 8. Наличие и границы Амурской плиты ставится под сомнение.

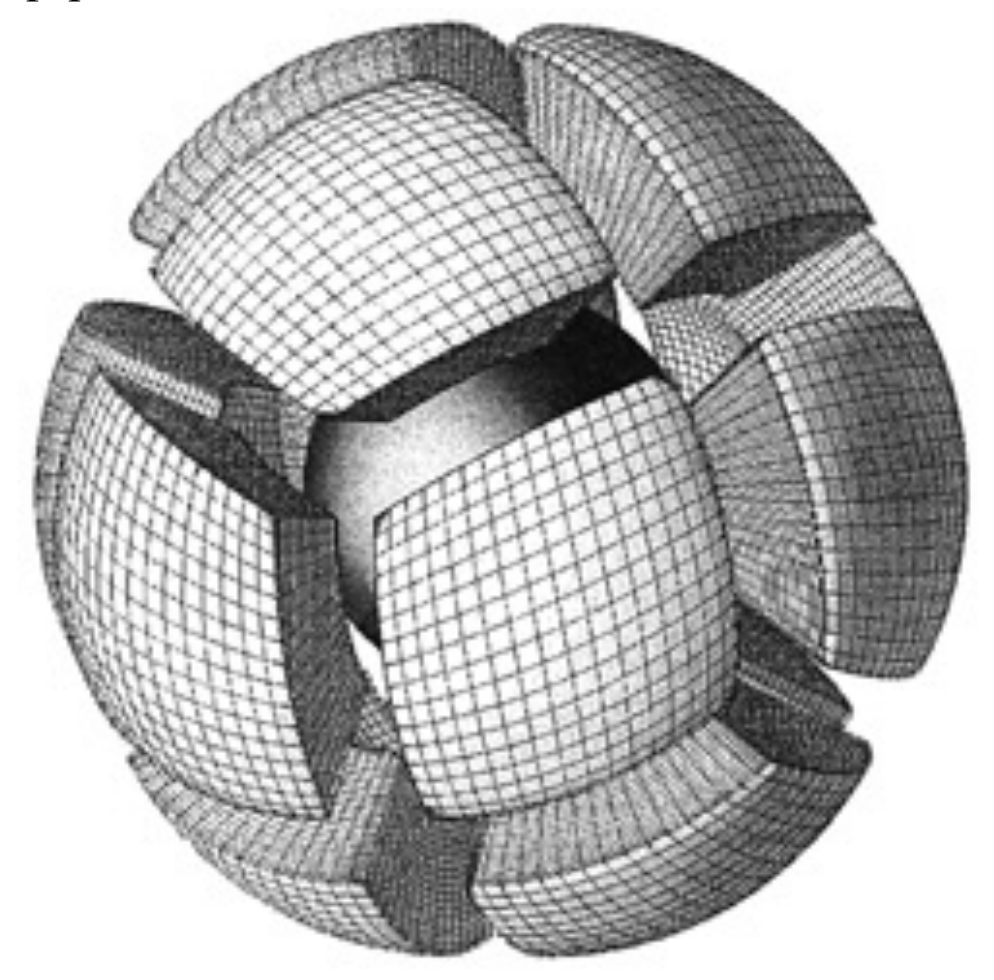


Программа для расчета сферической конвекции CitcomS

Для численного моделирования мы использовали модифицированную программу CitcomS [Zhong et al., 2000].

Данные о вариациях $V_{\rm s}$ скоростей из модели сейсмической томографии SMEAN2 были разложены по сферическим гармоникам, чтобы не зависеть от расчетной сетки. На входе программа CitcomS считывает 58 файлов, содержащих вариации сейсмических скоростей в Земле на различных глубинах, и переводит их в температуру в каждой точке сетки согласно используемому методу.

Затем решается уравнение переноса импульса (уравнение Стокса) для скоростей течений в естественных переменных скорость—давление конечно-элементным методом с помощью алгоритма Узавы, что позволяет получить решение даже тогда, когда вязкость вещества меняется на много порядков [Баранов и др., 2023]. Расчеты уравнения переноса импульса для скоростей течений производились на сетке 170×170×59 узлов по углам и глубине, соответственно, с равномерным шагом по глубине в 50 км, сетка по углам неравномерная и состоит из 12 сферических сегментов без сингулярностей в полярных областях [Чуваев и др., 2020].





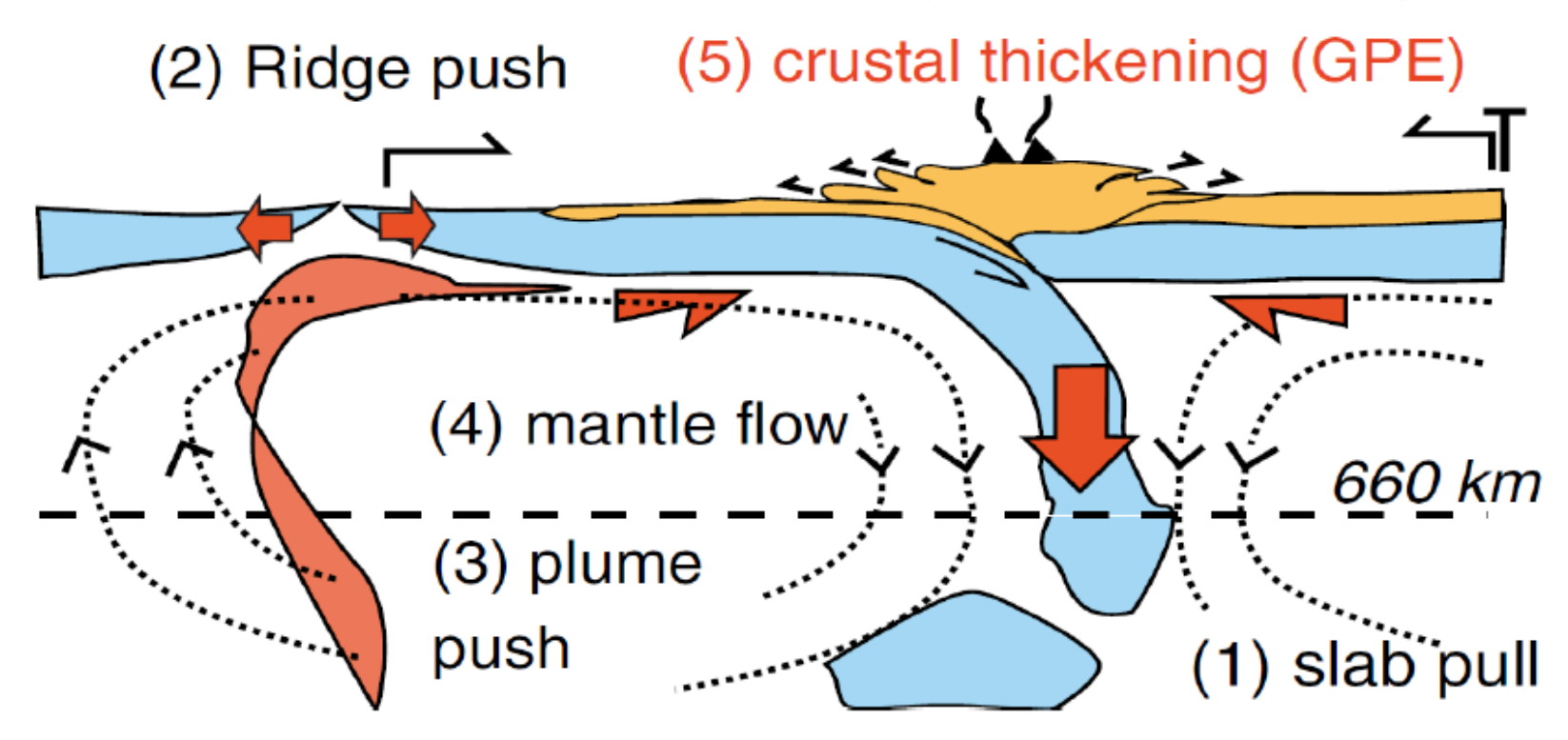
ЗАКЛЮЧЕНИЕ

В качестве общей теоретической платформы развития современной глобальной геодинамики, включающей основные тектоники плит, предлагается разработанная 3D-модель мантийной современной Земли, основанная конвекции для на данных сейсмической томографии, определяющих её внутреннее строение. Модель автоматически учитывает все основные силы, действующие в мантии и на поверхности Земли. Построенная 3D- модель мантийных течений даёт картину горизонтальных движений поверхности Земли, которая хорошо согласуется с данным космической геодезии. Она представляет количественную основу для анализа особенностей региональных геологических геодинамических И протекающих в современную эпоху и в позднем кайнозое. Фактически создается своеобразный атлас глубинной геодинамики на основе разрезов ее трехмерной структуры. Таким образом конвективная 3Dмодель современной глобальной геодинамики может рассматриваться обобщение литосферных реальное тектоники как современного этапа развития Земли.

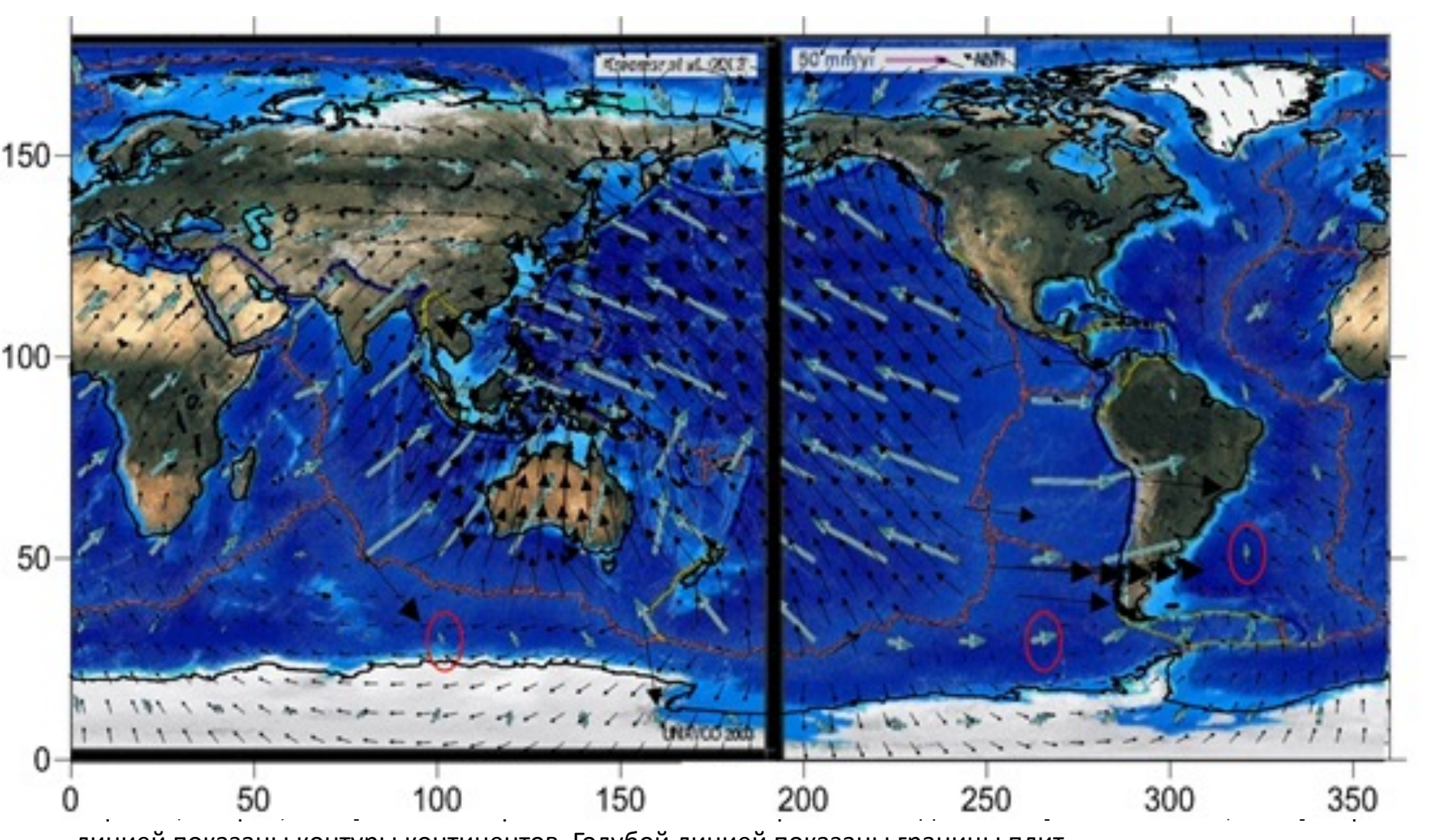
Plate driving forces:

Integrals over components of thermo-chemical convection

GPE = gravitational potential energy



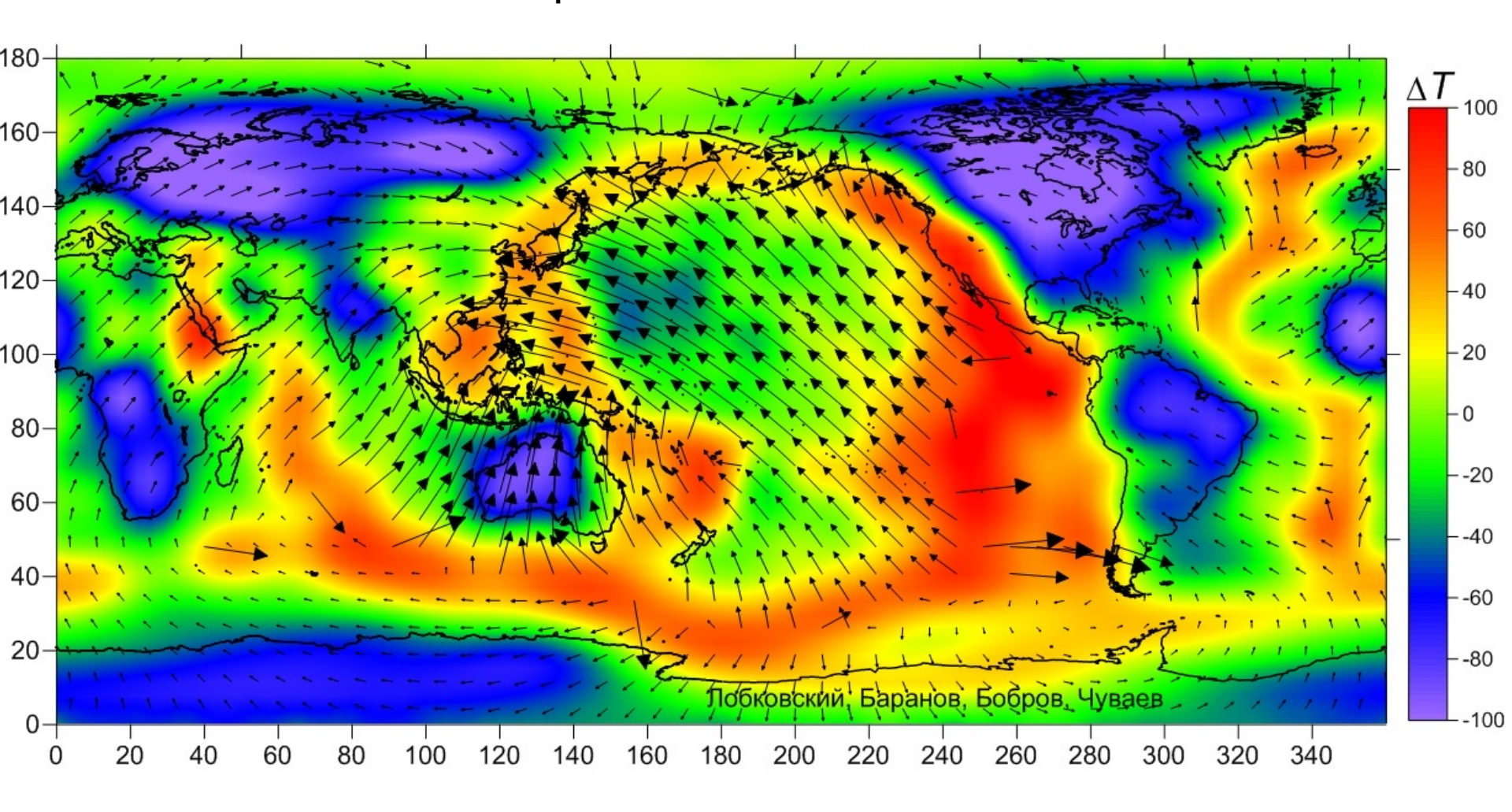
Сравнение рассчитанных скоростей на поверхности Земли и скоростей из модели ITRF на основе данных ГНСС



линией показаны контуры континентов. Голубой линией показаны границы плит.
Плиты делятся на 2 типа: относительно жесткие – Тихоокеанская, Наска, Африканская, Австралийская, Индийская; с большими внутриплитными деформациями т.е. скорости меняют направление внутри плит – Евразийская, Антарктическая, Южно и Североамериканская.

Атлас глубинной геодинамики,

основанный на серии плоскостных и меридиональных разрезов, на которых показаны рассчитанные температурные аномалии и скорости течений в мантии Земли



Распределение аномалий температуры в мантии на глубине 100 км. Черной линией показаны контуры континентов. Черными стрелками показаны рассчитанные скорости на поверхности Земли (1-8 см/год) [Лобковский, Баранов, Бобров, Чуваев, 2025].